

应用 SPSS 配合 Design Expert 提高正交试验设计和数据挖掘的效率

魏 萌¹ 李灿国¹ 孔 玲^{1*} 陈志伟^{2*}

1. 山东理工大学生命与医药学院, 中国·山东 淄博 255000

2. 山东理工大学食品与营养科学研究院, 中国·山东 淄博 255000

【摘要】正交设计可以通过较少试验次数达到全面试验等效的结果, 因此在科研、工程诸多领域受到广泛关注。然而, 常用软件通常不能够兼顾设计方案灵活性和试验数据深度挖掘高效的特性。通过案例, 比对 Design Expert 的 Taguchi OA 程序与 SPSS 的 Orthogonal design 程序, 展现 SPSS 在方案设计上的灵活性; 比对 SPSS 的 General Linear Model 程序与 Design Expert 的 Historical Data 程序, 展现 Design Expert 在结果分析和数据挖掘上的高效率。因此利用 SPSS 的 Orthogonal design 进行方案设计, 通过 Design Expert 的 Historical Data 进行结果分析和数据挖掘, 可以有效提高正交试验的灵活性和效率。

【关键词】正交设计; 数据挖掘; Design Expert; SPSS; 效率

【基金项目】中国学位与研究生教育学会研究课题(C-2015Y0501-050); 山东省研究生教育创新计划项目; 山东理工大学混合式教学课程建设项目; 山东理工大学一流本科课程建设与培育项目(JX20200076)。

引言

正交设计(Orthogonal design)是研究多因素多水平的一种设计方法。可以根据因子设计的分式原理, 采用由组合理论推导而成的正交表来安排设计试验, 并对结果进行统计分析。1951年由日本统计学家田口玄一根据试验的优化规律提出的正交表, 是正交试验设计的基本工具, 使正交试验具备分散性和整齐可比性^[1]。

正交设计相关应用软件数目较多, 如 SPSS、SAS、JMP 等^[2]。然而, 常用软件通常不兼顾设计方案灵活性和试验数据深度挖掘高效的特性, 因此根据各软件的特点, 合理搭配、应用不同软件, 共同进行正交试验, 对提高正交试验效率有着重要意义。Design Expert 软件结果分析方便、快捷, 数据挖掘灵活、精确; SPSS 软件方案设计灵活, 对多因素不同水平(特别是未查到正交表)的方案设计尤为适用。为此, 通过比对 Design Expert、SPSS 软件在正交方案设计、结果分析和数据挖掘上的特性, 提出一种应用 SPSS 配合 Design Expert 的方式, 以此提高正交试验设计和数据挖掘的灵活性和效率。

1 正交试验表

正交表是正交试验设计的基础, 可以手动查找, 也可以应用软件生成。Design Expert、SPSS 等软件可自动生成正交表, 有利于提高试验设计的效率。

正交表将各试验因素、各水平间的组合均匀搭配, 合理安排, 将试验因素各水平平均分布, 实现了因素和水平的均匀分散性和整齐可比性, 极大地减少了试验次数。因此, 如何保证正交试验点的均匀分散性和整齐可比性成了正交设计的关键, 这就涉及到正交表的设计和选取^[3-6]。正交表常表示为 $L_n(t_q)$ 。L 是 Latin 的第一个字母, n 为试验次数, t 为水平数, q 为因素数。如 $L_9(3^4)$ 表示共需做 9 次试验, 至多可以安排 4 个因素, 每个因素为 3 水平, 这是标准型正交表。如正交表中各列水平数不等, 则称为混合型正交表, 通常表示为 $L_n(t_1q_1 \times$

$t_2q_2)$, 如 $L_8(4 \times 2^4)$ 表示第 1 列为 4 水平, 其它均为 2 水平, 共需做 8 次试验。

2 Design Expert 正交试验设计及分析思路

2.1 选择建立新的试验方案

Design Expert 具有 Taguchi OA 程序, 其中 Design Designation 下拉菜单可提供包括 $L_4(2^3)$ 、 $L_8(2^7)$ 、 $L_9(3^4)$ 、...、 $L_{64}(2^{63})$ 、 $L_{64}(4^{21})$ 19 种正交表组成方案, 最多提供 64 组 21 因素 4 水平或 63 因素 2 水平的设计方案。界面底端的 Runs 可显示所选方案的运行次数^[7]。选择方案后, 设置自变量、因变量。

对于正交试验设计可以直接从 19 种正交表中选择方案。优先选择水平数, 因素数量采用就近向上的原则选择, 如 3 因素 3 水平的正交设计, 在没有现成方案的情况下, 可以选择 4 因素 3 水平的 $L_9(3^4)$ 。

2.2 正交试验分析

Taguchi OA 程序具有 Design、Analysis、Optimization、Post Analysis 四个模块, 分析主要使用 Analysis 模块, 主要包括 Transform、Effect、ANOVA、Model Graphs 等子模块。调用 Analysis 模块, Transform 采用默认值。Effect 子模块 Selection Tool 工具框有 Pareto Chart 和 Numeric 2 个选项, 可以进行不同路径的结果分析^[8]。一种是调用 Numeric 选项, 通过 Order 选择 Design Model 或者选择最多交互 4FI; 另一种是调用 Pareto Chart 选项, Rank 从高到低依次选择, 根据 t-Value 值考察最大变量是否对模型有显著影响, 也可以根据变量在 Pareto Chart 中的位置, 对各变量作用初步排序。运行 ANOVA 模块, 根据各变量 p-value 由高到低 (Mean Square 由低到高), 依次回到 Numeric 或者 Pareto Chart 去掉相关变量, 直到各变量的 p-value 达到显著水平, 找出主要因素^[9-14]。

对于模型回归方程、方程系数的显著水平及以及方程相关系数等可以在 ANOVA 子模块选项中查阅。对于编码变量的详细的方

程系数及系数显著水平也可以通过Post Analysis模块的Coefficients Table 查阅。

Design Expert 在 Analysis 模块 Model Graphs 子模块中通过 Graphs Tool、Factors Tool 工具框提供 7 种图形, 可以展示变量水平对因变量的影响。All Factors 可以展示全部因素在不同水平下对因变量的影响, 使得正交分析最优水平组合的描述更加直观; 3D Surface 可以比较 2 个不同水平的自变量对因变量的直观影响。

3 单因变量的正交设计及其分析

选取鳊鱼发酵工艺对感官评分影响的文献数据为例^[15], 利用 Design Expert 进行单因变量的正交设计及其分析。鳊鱼发酵工艺条件为发酵时间、温度、盐度, 设计 3 因素 4 水平正交试验, 以感官评分 (评分与品质正相关) 为衡量指标优选最优理论发酵条件。

3.1 试验方案设计、实施试验、实验结果汇总

Run	Std	Run	Factor 1 A-时间 h	Factor 2 B-温度 °C	Factor 3 C-盐度 %	Factor 4 D-D	Factor 5 E-E	Response 1 感官评分
1	9	1	Level 1 of A	Level 1 of B	Level 1 of C	Level 1 of D	Level 1 of E	69.84
2	10	2	Level 1 of A	Level 2 of B	Level 2 of C	Level 2 of D	Level 2 of E	78.99
3	2	3	Level 1 of A	Level 3 of B	Level 3 of C	Level 3 of D	Level 3 of E	82.54
4	5	4	Level 1 of A	Level 4 of B	Level 4 of C	Level 4 of D	Level 4 of E	89.35
5	12	5	Level 2 of A	Level 1 of B	Level 2 of C	Level 3 of D	Level 4 of E	87.26
6	15	6	Level 2 of A	Level 2 of B	Level 1 of C	Level 4 of D	Level 3 of E	72.3
7	16	7	Level 2 of A	Level 3 of B	Level 4 of C	Level 1 of D	Level 2 of E	80.94
8	1	8	Level 2 of A	Level 4 of B	Level 3 of C	Level 2 of D	Level 1 of E	63.86
9	6	9	Level 3 of A	Level 1 of B	Level 3 of C	Level 4 of D	Level 2 of E	79.79
10	8	10	Level 3 of A	Level 2 of B	Level 4 of C	Level 3 of D	Level 1 of E	80.48
11	7	11	Level 3 of A	Level 3 of B	Level 1 of C	Level 2 of D	Level 4 of E	73.45
12	3	12	Level 3 of A	Level 4 of B	Level 2 of C	Level 1 of D	Level 3 of E	89.38
13	14	13	Level 4 of A	Level 1 of B	Level 4 of C	Level 2 of D	Level 3 of E	73.74
14	4	14	Level 4 of A	Level 2 of B	Level 3 of C	Level 1 of D	Level 4 of E	74.4
15	11	15	Level 4 of A	Level 3 of B	Level 2 of C	Level 4 of D	Level 1 of E	78.93
16	13	16	Level 4 of A	Level 4 of B	Level 1 of C	Level 3 of D	Level 2 of E	57.06

图1 Design Expert正交试验方案及试验结果

使用因子分析的 Taguchi OA 选择试验方案, 由于 Design Designation 下拉菜单中没有 3 因素 4 水平的试验方案选择, 所以按照向上相近的原则, 选择 5 因素 4 水平的试验方案 L16 (45), 因变量 1 项, 试验方案如图 1。实施试验, 填写试验结果。

3.2 试验结果方差分析及回归方程

调用 Analysis 模块, Transform 采用默认值, 通过 Numeric 选项对感官评分应用 ANOVA 子模块分析。

Term	df	Sum of Squares	Mean Square	F Value	Prob > F
Intercept					
A-时间	3	66.55	22.18		
B-温度	3	503.99	168.00		
C-盐度	3	241.48	80.49		
D-D	3	42.01	14.00		
E-E	3	16.78	5.59		
AB		Aliased			
AC		Aliased			
AD		Aliased			
AE		Aliased			
BC		Aliased			
BD		Aliased			
BE		Aliased			
CD		Aliased			
CE		Aliased			
DE		Aliased			
ABC		Aliased			

图2 Numeric Plot因子分布

在 Numeric 图中, Order 选择 Design Model 或者选择最多交互 4FI。运行 ANOVA 子模块, 由于无法估计误差, 返回 Numeric 选项去掉高阶项 D, 再次运行 ANOVA 子模块。根据各变量 p-value 由高到低, 依次回到 Numeric 去掉相关变量, 直到各变量的 p-value 达到显著水平, 如图 2。

Use your mouse to right click on individual cells for definitions.

Response 1 感官评分

ANOVA for selected factorial model

Analysis of variance table [Classical sum of squares - Type II]

Source	Sum of Squares	df	Mean Square	F Value	p-value	Prob > F
Model	812.02	9	90.22	9.21	0.0069	significant
A-时间	66.55	3	22.18	2.26	0.1813	
B-温度	503.99	3	168.00	17.15	0.0024	
C-盐度	241.48	3	80.49	8.22	0.0152	
Residual	58.78	6	9.80			
Cor Total	870.80	15				

图3 ANOVA初步分析结果

运行 ANOVA 子模块, 结果如图 3。根据 p-value 对 3 个主要因素排序 B>C>A, 其中 A- 时间的 p-value=0.1813 不显著。此时的 R²=0.9325。

ANOVA 子模块编码水平方程见公式 (1)。更详细的参数可以通过 Post Analysis 模块的 Coefficient Table 子模块获得。用编码因子表示的方程可以用来预测每个因子在给定水平下的响应。默认情况下, 高级别的因子编码为 +1, 低级别的因子编码为 -1。该编码方程可用于通过比较因子系数来识别因子的相对影响。

$$\text{感官评分} = 74.52 + 0.66 \times A[1] + 1.57 \times A[2] + 1.26 \times A[3] + 3.14 \times B[1] + 2.02 \times B[2] + 4.45 \times B[3] - 6.36 \times C[1] + 4.12 \times C[2] + 0.63 \times C[3] \quad \text{公式 (1)}$$

3.3 Model Graphs 图形分析

Design-Expert?Software
Factor Coding: Actual
感官评分
● Design Points

Actual Factors
A: 时间 = Level 1 of A
B: 温度 = Level 1 of B
C: 盐度 = Level 1 of C
D: D = Level 1 of D
E: E = Level 1 of E

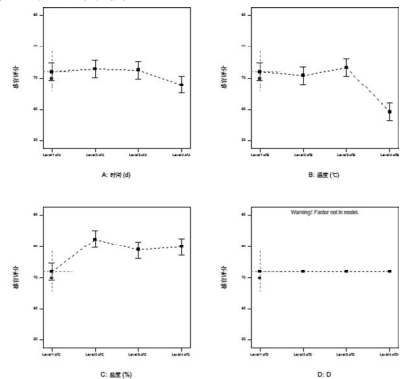


图4 All Factors图

Design-Expert?Software
Factor Coding: Actual
感官评分
● Design points below predicted value

X1 = A: 时间
X2 = B: 温度

Actual Factors
C: 盐度 = Level 1 of C
D: D = Level 1 of D
E: E = Level 1 of E

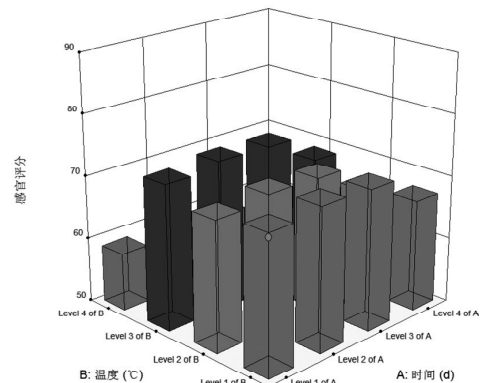


图5 自变量、因变量 3D Surface

在 Analysis 模块 Model Graphs 子模块中可以通过 Graphs Tool、Factors Tool 工具框查看 All Factors，如图 4。图中展示全部因素在不同水平下对因变量的影响，可以清晰看出 BC 的最佳组合为 B3C2，但对于 A 则不容易直接比较出 A2、A3 感官评分高低，表明还需进一步数据挖掘。自变量、因变量的 3D Surface 如图 5，可以通过鼠标调整视角以便看到更多组合效果，也可以通过调整坐标比较出 BC 两个主要因素组合对感官评分的影响。

4 多因变量的正交设计及结果优化

选取研究影响透明果汁的产品质量的文献数据为例^[16]，利用 Design Expert 进行多因变量的正交试验设计及分析。透明果汁产品质量受到填充液 (X 1)、加糖量 (X 2)、原果汁量 (X 3)、均质 (X 4)、增稠剂 (X 5)、冷却方法 (X 6)、灌装 (X 7) 7 个因素影响，每个因素 2 水平，选取香气和色泽两个重要指标进行考察。香气评价标准分为 10 个等级，最好的记为 10，最差的记为 1。本次试验共有 7 个因素，每个因素为 2 水平，选用 L8 (2⁷) 正交表来安排试验。

4.1 试验方案设计、实施试验、实验结果汇总

Select	Std	Run	Factor 1 A-填充液	Factor 2 B-加糖量	Factor 3 C-原果汁量	Factor 4 D-均质	Factor 5 E-增稠剂	Factor 6 F-冷却方法	Factor 7 G-灌装	Response 1 色泽	Response 2 香气
1	6	1	Level 1 of A	Level 1 of B	Level 1 of C	Level 1 of D	Level 1 of E	Level 1 of F	Level 1 of G	2.55	2
2	7	2	Level 1 of A	Level 1 of B	Level 1 of C	Level 2 of D	Level 2 of E	Level 2 of F	Level 2 of G	2.7	4
3	4	3	Level 1 of A	Level 2 of B	Level 2 of C	Level 1 of D	Level 1 of E	Level 2 of F	Level 2 of G	1.9	6
4	8	4	Level 1 of A	Level 2 of B	Level 2 of C	Level 2 of D	Level 2 of E	Level 1 of F	Level 1 of G	1.9	8
5	5	5	Level 2 of A	Level 1 of B	Level 2 of C	Level 1 of D	Level 2 of E	Level 1 of F	Level 2 of G	2.4	8
6	1	6	Level 2 of A	Level 1 of B	Level 2 of C	Level 2 of D	Level 1 of E	Level 2 of F	Level 1 of G	1.4	6
7	2	7	Level 2 of A	Level 2 of B	Level 1 of C	Level 1 of D	Level 2 of E	Level 2 of F	Level 1 of G	2.1	10
8	3	8	Level 2 of A	Level 2 of B	Level 1 of C	Level 2 of D	Level 1 of E	Level 1 of F	Level 2 of G	2.1	10

图6 正交试验方案及试验结果

使用 Design Expert 因子分析模块的 Taguchi OA 设计试验方案，选择 7 因素 2 水平的试验方案 L8 (2⁷)，因变量 2 项，如图 6。

4.2 试验结果方差分析及回归方程

调用 Analysis 模块，Transform 采用默认值，通过 Pareto Char 选项分别对色泽和香气变量应用 ANOVA 子模块分析。

Use your mouse to right click on individual cells for definitions.

Response 1 色泽

ANOVA for selected factorial model

Analysis of variance table [Partial sum of squares - Type III]

Source	Sum of Squares	df	Mean Square	F Value	p-value Prob > F
Model	1.21	7	0.17		
A-填充液	0.14	1	0.14		
B-加糖量	0.14	1	0.14		
C-原果汁量	0.43	1	0.43		
D-均质	0.090	1	0.090		
E-增稠剂	0.17	1	0.17		
F-冷却方法	0.090	1	0.090		
G-灌装	0.17	1	0.17		
Pure Error	0.000	0			
Cor Total	1.21	7			

图8 色泽 ANOVA 初步分析

对于色泽变量，通过 Effect 子模块 Pareto 选项使用鼠标从左到右选择，如图 7。选择之后显示变量名称，连续选择变量后最大值仍未超过 t-Value 值，说明最大变量未对模型有显著影响。通过连续选择可以看出各因素按 Rank 排序的结果是 C>G>E>B>A>D>F。

因素全部选入模型后的 ANOVA 子模块结果如图 8，获得 Mean Square

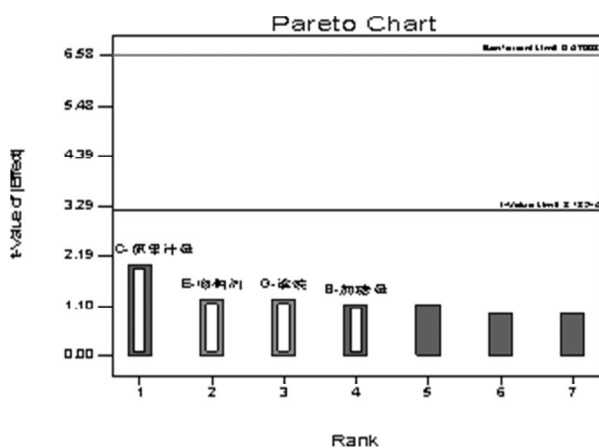


图7 色泽 Pareto Chart 因子 Rank 顺序

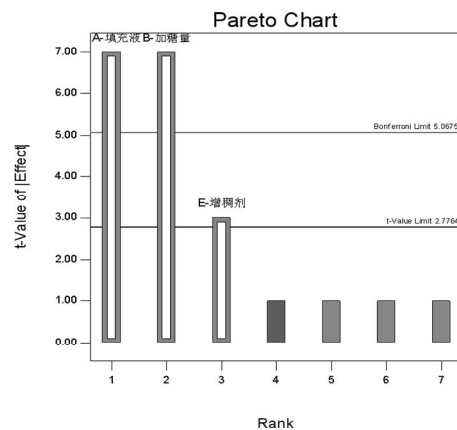


图9 香气 Pareto Chart 因子 Rank 顺序

的信息, 而 p-value 空白。返回 Effect 子模块 Pareto 选项去掉影响最小的变量 (Mean Square 最小值), 依次去掉每次 ANOVA 子模块运行 p-value 最大值, 仍然没有找到显著因素。由于 Effect 子模块 Pareto 直观显示结果与 ANOVA 子模块运行结果相印证, 所以各因素排序为 C>G>E>B>A>D>F。

Use your mouse to right click on individual cells for definitions.

Response 2 香气

ANOVA for selected factorial model

Analysis of variance table [Partial sum of squares - Type III]

Source	Sum of Squares	df	Mean Square	F Value	p-value	
Model	53.50	3	17.83	35.67	0.0024	significant
A-填充度	24.50	1	24.50	49.00	0.0022	
B-加糖量	24.50	1	24.50	49.00	0.0022	
E-增稠剂	4.50	1	4.50	9.00	0.0399	
Residual	2.00	4	0.50			
Cor Total	55.50	7				

图10 香气ANOVA初步分析结果

对于香气变量, 通过 Effect 子模块 Pareto 选项使用鼠标从左到右选择, 连续选择变量后最大值仍超过 t-Value 值, 说明最大变量对模型有显著影响。通过连续选择可以看出各因素按 Rank 排序的结果是 A>B>E>F>C>G>D。运行 ANOVA 子模块, 返回 Effect 子模块 Pareto 选项依次去掉 p-value 最大值, 获得 3 个主要因素 A、B、E, 其中 A、B 差异极显著, E 差异显著, 如图 9 和图 10。编码因素方程见公式 (2), $R^2=0.9640$ 。

$$\text{香气} = 6.75 + 1.75 \times A + 1.75 \times B + 0.75 \times E \quad \text{公式(2)}$$

因此, 影响香气的主要因素是 ABE; 色泽没有显著的影响因素, 各因素排序为 C>G>E>B>A>D>F。

5 小结

Design Expert 的 Taguchi OA 程序可以实现对单因变量、多因变量的正交试验的设计和分析。根据实际情况选择合适水平、因素的试验方案, 实施试验, 填写试验结果; 再通过 Analysis 模块的 Effect 子模块 Numeric 或 Pareto 程序对试验结果进行方差分析并得到回归方程。通过两例案例发现, Design Expert 不仅方便试验方案的选择, 且在结果分析上方式灵活多样, 运行简单快捷, 可以较好地提高正交试验的效率。

Design Expert 的 Taguchi OA 程序虽然在一定程度上能够提高正交试验的效率, 但仍有不足。一方面, Design Expert 对于 19 种方案之外的试验方案尚不能设计, 故如何提升方案设计的灵活性, 将成为进一步提高正交试验效率的关键。另一方面, 对于已有交叉项的正交试验结果的分析 and 挖掘, Taguchi OA 程序如何解决, 还需要进一步探讨。

参考文献:

[1] 刘瑞江, 张业旺, 闻崇炜, 等. 正交试验设计和分析方法研究

[J]. 实验技术与管理, 2010, 27(9): 52-55.

[2] 史周华. 析因设计的 SAS 实现 [J]. 数理医药学杂志, 2005, 18(6): 604-605.

[3] 杜家菊, 陈志伟. 使用 SPSS 线性回归实现通径分析的方法 [J]. 生物学通报, 2010, 45(2): 4-6.

[4] 贾小波, 李道强, 涂庆. 基于正交表的二次统计法在正交试验中的应用 [J]. 统计与决策, 2008(24): 150-151.

[5] 蔡火娣, 邓林海. 二次回归分析在正交设计中的应用 [J]. 统计与决策, 2007(5): 25-26.

[6] 程敬丽, 郑敏, 楼建晴. 常见的试验优化设计方法对比 [J]. 实验室研究与探索, 2012, 37(7): 7-11.

[7] 方开泰, 马长兴. 正交与均匀试验设计 [M]. 北京: 科学出版社, 2001, 40-56.

[8] 葛宜元. 试验设计方法与 Design-Expert 软件应用 [M]. 哈尔滨: 哈尔滨工业大学出版社, 2015, 106-111, 120-127.

[9] 储成顶, 梁伟, 赵国琴, 等. 建立分析测试方法的正交试验与电脑编程 [J]. 实验室研究与探索, 2012, 31(9): 36-39.

[10] 曾尊祥. 正交试验优化石墨炉原子吸收测定珠江水中 Mn [J]. 实验室研究与探索, 2011, 30(11): 224-226+305.

[11] 张秀英, 冯亚云, 冯朝任, 等. 正交试验设计法在恒压过滤实验中的应用 [J]. 实验技术与管理, 1993, 10(3): 52-55.

[12] 李建鹏, 陶进转, 陈冰. 蔗糖酶水解蔗糖的正交试验与 SPSS 分析 [J]. 化学研究与应用, 2019, 31(10): 1807-1811.

[13] 邓波, 王莎, 吴汉奇. 正交试验设计在茶叶铁、锌、铜含量测定中的应用 [J]. 食品研究与开发, 2020, 41(1): 167-171.

[14] 肖建昆, 夏兆旺, 卢仙兰. 发动机排气噪声影响因素正交实验 [J]. 实验室研究与探索, 2014, 33(4): 29-32.

[15] 杨召侠, 刘洒洒, 高宁, 等. 臭鳊鱼发酵工艺优化及挥发性风味物质分析 [J]. 中国食品学报, 2019, 19(5): 253-262.

[16] 肖怀秋, 刘洪波. 试验数据处理与试验设计方法 [M]. 北京: 化学工业出版社, 2013, 70-89.

作者简介:

魏萌 (1999.02-), 女, 山东枣庄人, 本科, 研究方向: 应用统计学。

李国灿 (1995.03-), 男, 山东泰安人, 硕士, 研究方向: 生物分析化学。

通讯作者:

* 孔玲 (1974.09-), 女, 山东定陶人, 博士, 副教授, 研究方向: 生物分析化学、应用统计学。

* 陈志伟 (1972.06-), 男, 内蒙古呼伦贝尔人, 博导, 教授, 研究方向: 应用统计学。